

# مکانیابی آنزیم $\text{Na}^+, \text{K}^+$ -ATPase و سلولهای کلراید آبششی به روش ایمونوھیستوشیمی در بچه تاسماهی ایرانی (*Acipenser persicus*)

زهرا خوشنود؛ صابر خدابنده\* و سعیده مسافر خورجستان

Surp78@yahoo.com

دانشکده منابع طبیعی و علوم دریایی دانشگاه تربیت مدرس، نور صندوق پستی: ۱۴۱۱۵-۳۵۶

تاریخ پذیرش: بهمن ۱۳۸۶      تاریخ دریافت: بهمن ۱۳۸۷

## چکیده

tasmahi iranii (*Acipenser persicus*) از گونه‌های بسیار ارزشمند اکوسیستم دریای خزر محسوب می‌گردد. به منظور مکانیابی سلولهای کلراید، ماهیها به مدت هفت روز با شرایط آزمایشگاه سازگار شدند. بافت‌شناسی آبشن با استفاده از رنگ آمیزی هماتوکسیلین - فوشین و ایمونولوکالیزه نمودن آنزیم  $\text{Na}^+, \text{K}^+$ -ATPase با استفاده از آنتیکور IgG<sub>A5</sub> صورت گرفت. برای اندازه‌گیری ابعاد سلولهای کلراید از نرم‌افزار Image Tools استفاده شد. سلولهای کلراید آبشنی در بافت آبشنی بر روی کمان آبشنی، سپتوم بین برانشی، فیلامنت و لاملاها مشاهده شدند. هیچ‌گونه سلول کلرایدی بر روی آبشن اپرکولی و نیز آبشن اسپیراکلی مشاهده نگردید. سلولها کروی تا تخم مرغی شکل بوده و ویژگی ایمونوفلورستن را بیشتر در غشای قاعده‌ای - جانبی خود نشان دادند. نتایج شمارش مشخص نمود که در هر میلیمتر مربع از بافت آبشنی، ۲۸۹ سلول کلراید وجود دارد. بیشترین تعداد سلولهای کلراید بترتیب بر روی فیلامنت، بر روی لاملا، در پایه لاملاها و در فضای بین پایه لاملاها مشاهده شد و تعداد سلولها در تمامی این موقعیت‌ها دارای اختلاف آماری معنی‌دار بود ( $P < 0.01$ ). بچه ماهی تاسماهی ایرانی ۲ تا ۳ گرمی دارای سلولهای کلراید آبشنی بوده و این سلولها از لحاظ بیان زن و فعلیت آنزیم  $\text{Na}^+, \text{K}^+$ -ATPase ایرانی وجود داشتند و به دلیل داشتن ناقلين سلولی فراوان از جمله  $\text{Na}^+, \text{K}^+$ -ATPase مکان مناسبی برای تبادلات یونی میان موجود و محیط بشمار می‌روند. حضور این سلولها به همراه مقادیر قابل توجهی از آنزیم  $\text{Na}^+, \text{K}^+$ -ATPase می‌تواند نشانگر توان تنظیم اسمزی و روپرو شدن با تغییرات شوری محیط در این ماهی باشد.

**لغات کلیدی:** تاسماهی ایرانی، IgG<sub>A5</sub>,  $\text{Na}^+, \text{K}^+$ -ATPase, *Acipenser persicus*, سلولهای کلراید

## مقدمه

این میان شناخت مکان و پراکنش سلولهای کلراید، بعنوان اصلی ترین فاکتورهای تنظیم اسمزی، دارای اهمیت خاصی است.

### مواد و روش کار

بچه ماهیان ۲ تا ۳ گرمی تاسماهی ایرانی در تیرماه سال ۱۳۸۵ از کارگاه تکنیک و پرورش ماهیان خاویاری شهید بهشتی رشت تهیه شدند و به آزمایشگاه تحقیقات آبزیان دانشکده علوم دریایی دانشگاه تربیت مدرس، نور منتقل و به مدت ۷ روز در شرایط آزمایشگاه در آب شیرین نگهداری شدند. در تمام طول دوره سازگاری بچه ماهیان، دمای آب (۲۵ تا ۲۶ درجه سانتیگراد)، اکسیژن محلول (۶ تا ۷ میلی گرم در لیتر) و pH (در محدوده ۷ تا ۸) بصورت روزانه، توسط دستگاه Multiline P4 مورد کنترل و اندازه‌گیری قرار گرفت. تعدادی از بچه ماهیان جهت مطالعات بافت‌شناسی و ایمونوھیستوژنی در محلول فیکساتیو بوئن به مدت ۲۴ ساعت ثبیت شدند. نمونه‌ها ۴ تا ۵ مرتبه با الكل اتانول ۷۰ درصد مورد شستشو قرار گرفتند و سپس توسط الكل اتانول ۹۵ و ۱۰۰ و در نهایت توسط الكل بوتانول آبگیری شدند. نمونه‌ها پس از قرارگیری به مدت ۳ ساعت در گزیلن به منظور پارافینه کردن، در داخل آون در پارافین مایع قرار داده و پس از آن توسط پاراپلاست (Merck) قالب‌گیری شدند. از بافت‌ها بر什‌هایی به ضخامت ۴ میکرومتر توسط میکروتوم (ساخت شرکت دید سبز) تهیه شد و بر روی لامهای معمولی قرار گرفتند. لامها پس از نگهداری در داخل آون در دمای ۳۷ درجه سانتیگراد و پس از آن پارافین‌زدایی توسط گزیلن به روش هماتوکسیلین-فوشین رنگ‌آمیزی شده و توسط میکروسکوپ نوری Micros مورد مطالعه و عکسبرداری قرار گرفتند (Mortoja & Mortoja-Pierson, 1967; Khodabandeh et al., 2006; Mortoja & Mortoja-Pierson, 1967). به منظور مطالعات ایمونوھیستوژنی، مشابه روش کار بافت‌شناسی از بافت‌ها برشهایی به ضخامت ۴ میکرومتر تهیه شد و برshaها بر روی لامهای تیمار شده با محلول پلی-آل-لیزینه قرار گرفتند. سپس لامها توسط گزیلن پارافین‌زدایی شده و پس از آن توسط سری افزایشی الكل اتانول (۵۰، ۵۰، ۹۵ و ۱۰۰ درصد) آبگیری شدند. پس از آن در محلول (Phosphate Buffer Saline) PBS به مدت ۵ دقیقه شستشو داده شدند. سپس به مدت ۲۰ دقیقه در محلول PBS+NaCl+Tween20 و ۲۰ دقیقه نیز در محلول PBS+Regilier قرار گرفتند و پس از آن دو مرتبه

آبیشش مهمترین اندامی است که عملکرد تنظیم اسمزی را بر عهده دارد و در اپیتلیوم آبیششی، سلولهای کلراید که دارای دانسیته بالایی از آنزیم  $\text{Na}^+, \text{K}^+$ -ATPase هستند مهمترین نقش را در روند تنظیم یونی و اسمزی بر عهده دارند. آبیشش مهمترین جایگاه تبادل یونهای تک‌ظرفیتی بین بدن و محیط بشمار می‌رود (Evans, 1993). اپیتلیوم آبیششی دارای چندین نوع سلول است که شامل سلولهای موکوسی، سلولهای کلراید و سلولهای سنگفرشی می‌باشند که در تمام این سلولها  $\text{Na}^+, \text{K}^+$ -ATPase بیان می‌شود، اما در این میان دانسیته این آنزیم در سلولهای کلراید از همه این سلولها بیشتر بوده و به رقمی در حدود  $10^4$  آنزیم به ازای هر سلول می‌رسد، به همین سبب مکانیابی آنزیم  $\text{Na}^+, \text{K}^+$ -ATPase با استفاده از آنتی‌بادی‌های اختصاصی زیراحدهای آنزیم از روش‌های مطمئن به منظور مکانیابی سلولهای کلراید آبیششی محسوب می‌گردد (Seidelin et al., 1999). سلولهای کلراید مهمترین جایگاه تبادلات یونی هستند، این سلولها علاوه بر تنظیم تعادل اسیدی-بازی مسئول ترشح یونها در آب شور و جذب یونها در آب شیرین بشمار می‌روند (Wood & Marshall, 1994). سازگاری ماهی به شوری نیازمند ایجاد تغییرات عمدی‌های در وضعیت مورفولوژیک و فیزیولوژیک آبیشش دارد. افزایش تعداد و اندازه و نیز تغییر در پراکنش سلولهای کلراید برخی از تغییرات عمدی بافتی هستند که طی این سازگاری رخ می‌دهند. تغییر در میزان و نوع ناقلين سلولی و نیز تغییر در میزان فعالیت این ناقلين نیز از دیگر تغییرات سازشی در آبیشش جهت مواجهه با محیط شور بشمار می‌روند (Evans et al., 2005). اگرچه با روش بافت‌شناسی می‌توان تا حدودی سلولهای کلراید را مکانیابی و تغییرات آنها را مطالعه کرد، استفاده از روش ایمونوھیستوژنی دقت عمل را بالا برد و حضور قابل توجه آنزیم  $\text{Na}^+, \text{K}^+$ -ATPase، می‌تواند شاخصی برای آمادگی موجود برای مواجهه شدن با شوری‌های مختلف باشد. لذا استفاده از مکانیابی سلولهای کلراید با استفاده از ایمونوھیستوژنی یکی از مطمئن‌ترین روشها بحساب می‌آید (Khodabandeh, 2006; Pelis et al., 2001).

هر ساله تعداد زیادی از بچه ماهیان تکثیر شده در کارگاههای تکثیر استان‌های گیلان، مازندران و گرگان به این دریا رهاسازی می‌شوند. شناخت فیزیولوژی تنظیم اسمزی تاسماهیان، بدلیل ویژگی مهاجرت بین آبهای لب شور و شیرین از اهم مطالعات انجام شده بر روی این ماهی بشمار می‌رود که در

ANOVA و در نهایت جهت تعیین اختلاف میان تک تک دادهها از آزمون t3 Dunnet استفاده شد. کلیه آزمونها با استفاده از نرم افزار SPSS 11.5 انجام گرفت.

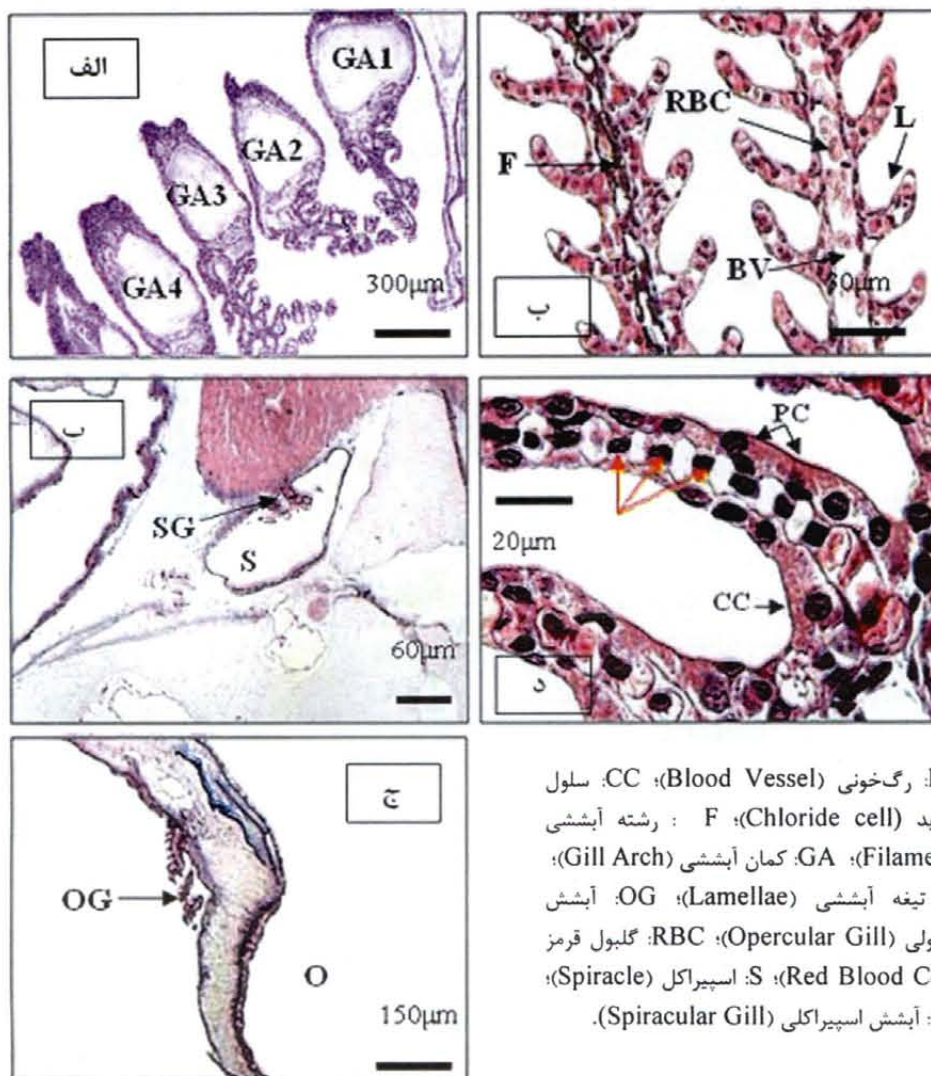
## نتایج

نتایج مطالعات نشان داد که آبشنش در بچه ماهیان تاسماهی ایرانی از چهار جفت کمان آبشنشی در هر طرف سر تشکیل شده است (شکل ۱الف). هر کدام از این کمانها حامل دو ردیف از رشته های آبشنشی یا فیلامنت ها می باشد. بر روی دو طرف هر رشته آبشنشی نیز تیغه های آبشنشی یا لاملاها دیده می شوند (شکل ۱ب). همچنین بچه ماهی تاسماهی ایرانی ۲ تا ۳ گرمی دارای آبشنش اپرکولی و آبشنش اسپیراکلی هستند (شکل ۱پ و ۱د). مطالعات بافت شناسی (شکل ۱ج) و ایمونو هیستوشیمی (شکل ۱الف) نشان داد که در بچه ماهیان ۲ تا ۳ گرمی تاسماهی ایرانی، سلولهای کلرايد در بخش های مختلف آبشنش از جمله کمان آبشنشی، سپتوم بین برانشی، فیلامنت و نیز لاملاها پراکنش دارند. این سلولها عموماً کروی تا تخم مرغی شکل می باشد و ویژگی ایمونوفلورو سنت عمدتاً در غشای قاعده ای - جانی آنها دیده می شود (شکل ۱ج). بر روی فیلامنت، این سلولها همانطور که در نتایج مطالعات بافت شناسی دیده شد بیشتر در پایه لاملاها و نیز در فاصله بین پایه آنها دیده می شوند (شکل ۱د). هیچ گونه سلول ایمونوفلورو سنت در برانش اپرکولی و برانش اسپیراکلی دیده نشد. وجود ایمونوفلورو سنت قوی در سلولهای کلرايد نشانگر حضور مقدار قابل ملاحظه ای از آنزیم  $\text{Na}^+$ ,  $\text{K}^+$ - ATPase در آنها می باشد (شکل ۱ب و ۱د).

در شمارشی که از سلولهای کلرايد آبشنشی در این تیمار انجام شد، میانگین تعداد این سلولها در هر چهار موقعیت (روی لاملا، پایه لاملا، بین لاملاها و در سایر بخش های فیلامنت) محاسبه و تعیین گردید. نتایج نشان داد که اختلاف میان این میانگین ها معنی دار می باشد (نمودار ۱). همچنین نتایج شمارش در این بخش نشان داد که در آبشنش بچه ماهی ۲ تا ۳ گرمی تاسماهی ایرانی در هر میلی متر مربع از سطح بافت حدوداً ۲۸۹ سلول کلرايد وجود دارد.

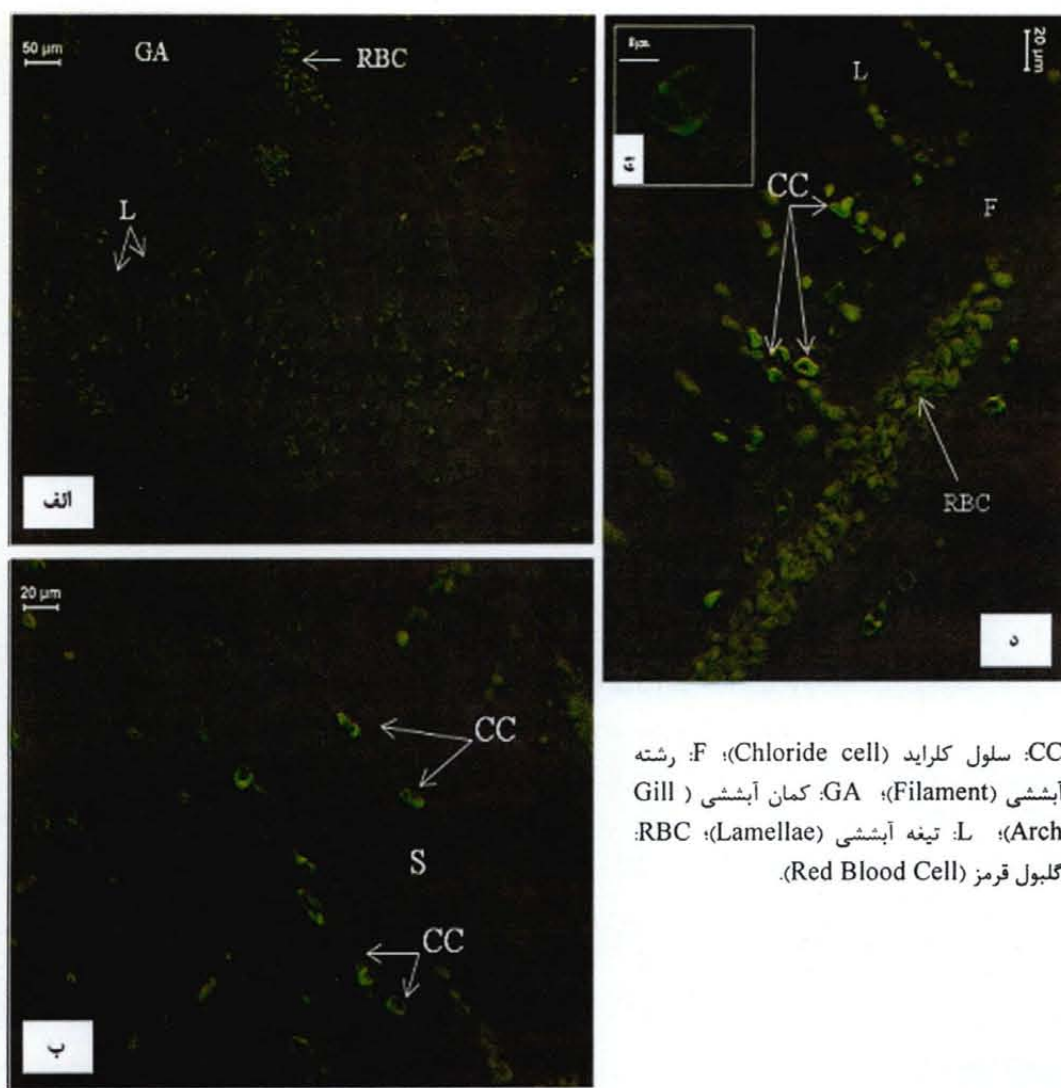
همچنین بر طبق اندازه گیری های بعمل آمده از سلولهای کلرايد در این بچه ماهیان، این سلولها دارای میانگین طولی برابر با  $۰/۵ \pm ۰/۰۵$  میکرومتر و میانگین عرضی معادل  $۰/۴ \pm ۰/۰۲$  میکرومتر بودند.

هر بار به مدت ۳ دقیقه در محلول PBS شستشو داده شدند. سپس محلول آنتی کور I (Hybridoma Bank, University of Iowa, USA IgGα5) رقیق شده با محلول PBS+Regiler ۱۰۰ برابر رقیق شده بصورت ۵۰۰ میکرولیتر میکرولیتر آنتی کور I به علاوه ۱۰۰ میکرولیتر محلول PBS+Regile (۱۰۰ برابر رقیق شده) برای ۱۰ لام (هر لام ۱۰۰ میکرولیتر) به لامها اضافه گردید. لامها در محفظه مرتبط به مدت ۲ ساعت در دمای ۳۷ درجه سانتیگراد نگهداری شدند. پس از آن لامها دو مرتبه هر بار به مدت ۵ دقیقه توسط محلول PBS شستشو داده شدند. سپس محلول آنتی کور II (Flourescin Isothiocyanate Conjugated) با محلول PBS+Regiler (۱۰۰ برابر رقیق شده) بصورت ۷ میکرولیتر آنتی کور II + ۹۹۳ میکرولیتر محلول PBS+Regiler (۱۰۰ برابر رقیق شده) برای ۱۰ لام، به هر لام ۱۰۰ میکرولیتر اضافه شد. لامها سپس به مدت ۱ ساعت در دمای ۳۷ درجه سانتیگراد و در محفظه مرتبط نگهداری شدند. پس از شستشو لامها در محلول PBS دو مرتبه و هر بار به مدت ۵ دقیقه لامها توسط میکروسکوپ توری Olympus مورد شده و توسط مطالعه قرار گرفتند. در تعدادی از لامها که بعنوان لامهای شاهد انتخاب شدند به جای آنتی کور اول محلول ۱۰۰ برابر رقیق شده PBS+Regiler اضافه گردید. مکان یابی آنزیم  $\text{Na}^+$ ,  $\text{K}^+$ - ATPase با استفاده از آنتی کور IgGα5 و براساس تکنیک Lignot و همکاران (2001) و Khodabandeh (2001) صورت گرفت. شمارش سلولهای کلرايد با استفاده از تصاویر تهیه شده از مطالعات ایمونو هیستوشیمی صورت گرفت. سلولهای کلرايد در هر تیمار از ۷ ترانسکت تصادفی  $\times ۲۹۰$   $\times ۳۶۶/۰۶$  میکرومتر بر روی برش طولی فیلامنت مورد شمارش قرار گرفتند (Pelis & McCormick, 2001). به منظور اندازه گیری ابعاد سلولهای کلرايد در هر تیمار از ۷ ترانسکت تصادفی  $\times ۲۹۰$   $\times ۳۶۶/۰۶$  میکرومتر بر روی برش طولی فیلامنت ۲۰ سلول Pelis (McCormick, 2001). در هر سلول بیشترین ارتفاع بعنوان طول و بیشترین پهنا بعنوان عرض در نظر گرفته شد. میانگین طول گروه محاسبه و مورد مقایسه قرار گرفت. کلیه اندازه گیری ها توسط نرم افزار Image Tools 2.0 انجام شد (Vaesamos, 2002). به منظور مقایسه مکان های حضور سلولهای کلرايد در بافت آبشنشی ابتدا از آزمون همگنی واریانس Leven و سپس به One-Way منظور تعیین اختلاف کلی بین میانگین ها از آزمون



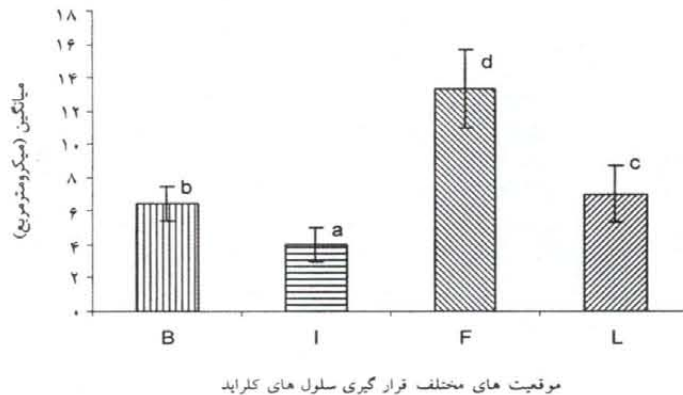
BV: رگ خونی (Blood Vessel)  
 CC: سلول  
 F: کلراید (Chloride cell)  
 GA: رشته آبشنی (Filament)  
 L: تیغه آبشنی (Lamellae)  
 OG: اپرکولی (Opercular Gill)  
 PC: گلبول قرمز (Spiracle)  
 RBC: اسپیراکل (Red Blood Cell)  
 SG: آبشنی اسپیراکلی (Spiracular Gill)

شكل ۱: بافت‌شناسی آبشنی در بچه تاسمahi ایرانی (رنگ آمیزی با هماتوکسیلین - فوشین). آبشنی متشکل از چهار کمان آبشنی در هر طرف سر (الف): رشته‌های آبشنی (فیلامنت) در دو سوی خود حاوی لاملاها (ب): آبشنی اسپیراکلی (پ): آبشنی اپرکولی (د): سلولهای کلراید در پایه لاملا (ج).



شکل ۲: مکانیابی  $\text{Na}^+, \text{K}^+$ -ATPase به روش ایمونوھیستوشیمی. کمان‌های آبششی حامل سلولهای کلراید (الف); سلولهای کلراید بر روی فیلامنت، لاملا و بین لاملاها (ب); ویژگی ایمونوفلورسنت در غشاها قاعده‌ای-جانبی یک سلول کلراید (ج); سلولهای کلراید بر روی سپتوم بین برانشی (د).

شکل ۲: مکانیابی  $\text{Na}^+, \text{K}^+$ -ATPase به روش ایمونوھیستوشیمی. کمان‌های آبششی حامل سلولهای کلراید (الف); سلولهای کلراید بر روی فیلامنت، لاملا و بین لاملاها (ب); ویژگی ایمونوفلورسنت در غشاها قاعده‌ای-جانبی یک سلول کلراید (ج); سلولهای کلراید بر روی سپتوم بین برانشی (د).



نمودار ۱: مقایسه میانگین حضور سلولهای کلراید در قسمت‌های مختلف بافت آبششی در بچه ماهیان سازگار به آب شیرین (تیمار شاهد) در ۷ ترانسکت تصادفی با ابعاد  $۳۶۶ \times ۲۹۰$  میکرومتر؛ B: بین لاملاها، I: بر روی فیلامنت و L: بر روی لاملا؛ حروف غیریکسان نشانگر وجود اختلاف معنی دار می‌باشد.

## بحث

کلراید روی برانشهای اپرکولی و نقش تنظیم یونی آنها اشاره شده است (Hirose *et al.*, 2003). همچنین حضور سلولهای کلراید روی فیلامنت‌ها، پایه لاملاها و بین لاملاها در ماهیان مختلف گزارش شده است (Pelis & Altinok *et al.*, 1998; McCormick, Evans *et al.*, 2005; 2001).

در تاسماهی ایرانی ۲ تا ۳ گرمی، سلولهای کلراید روی لاملاها نیز دیده شدند. حضور این سلولها در روی لاملاهای برخی ماهیان آب شیرین (Evans *et al.*, 2005) و عدم حضور آنها در برخی دیگر (Lin *et al.*, 2003; Harder, 1975) خدابنده و تلقی زاده، قبل از گزارش شده است و به نقش جذب یونی سلولهای کلراید لاملاهای در آبهای با کمبود یون مربوط می‌گردد (Pelis & McCormick, 2001). به نظر می‌رسد در تاسماهی ایرانی نیز این سلولها در آب شیرین در جهت جذب یون‌ها فعالیت نمایند.

نتایج ایمونوهیستوشیمی نشان داد که بیشتر ایمونوفلورسنت در بخش قاعده‌ای-جانبی سلولهای کلراید دیده می‌شود و این با نقش جذب فعال این سلولها با استفاده از آنزیم  $\text{Na}^+/\text{K}^+$ -ATPase مطابقت دارد. نتایج مطالعات انجام شده روی سایر گونه‌ها به روش ایمونوهیستوشیمی و ایمونوگلوبلین نیز به حضور این

مطالعات ایمونوهیستوشیمی نشان داد که در بچه ماهیان ۲ تا ۳ گرمی تاسماهی ایرانی سازگار با آب شیرین سلولهای کلراید در بخش‌های مختلف آبشش از جمله کمان آبششی، سپتوم بین برانشی، فیلامنت و نیز لاملاها پراکنش دارند. هیچگونه سلول ایمونوفلورسنتی در برانش اپرکولی و برانش اسپیراکلی دیده نشد. به رغم انجام برخی مطالعات روی آبشش تاسماهی ایرانی و تاسماهی روسی، حضور سلولهای کلراید روی کمانها و سپتوم این ماهیان گزارش نشده بود و ساختار برانش‌های اپرکولی و Dettlaff *et al.*, (1992) اسپیراکلی نیز مورد توجه قرار نگرفته بود (Tasmania, 1992). وجود برانش‌های اپرکولی و اسپیراکلی در ماهیان جنس شناخت کامل ساختار و مکانیسمهای تنظیم اسمزی، مثل آنزیم‌ها بیان شده بود که این آبشش‌ها ممکن است نقش تنفسی داشته و عملکرد تنظیم یونی نداشته باشند. در تحقیق حاضر استفاده از آنتی کور نشان داد که آبشهای اپرکولی و اسپیراکلی بچه تاسماهیان سلولهای ایمونوفلورسنت به آنزیم  $\text{Na}^+/\text{K}^+$ -ATPase را ندارند و نظریه عدم دخالت آبشهای مذکور در تنظیم اسمزی را تأیید می‌کند. در برخی از ماهیان استخوانی به حضور سلولهای

مانند بسیاری از گونه‌های ماهیان سلولهای کلراید آبششی در بچه ماهی ۲ تا ۳ گرمی تاسماهی ایرانی نیز وجود دارد و نشاندهنده نقش فعال سلولهای کلراید آبششی در این بچه - ماهیان می‌باشد، بدین مفهوم که در بچه ماهی ۲ تا ۳ گرمی ساختار بافت آبششی در حد بیان زنهای ناقلين سلولی دخیل در تنظیم اسمزی (از جمله  $\text{Na}^+$ ,  $\text{K}^+$ -ATPase) و نیز فعالیت‌های تنظیم یونی و اسمزی سلولهای کلراید تکامل یافته است. سلولهای کلراید بچه تاسماهی ایرانی در اوزان ۲ تا ۳ گرمی دارای دانسته بالایی از آنزیم  $\text{Na}^+$ ,  $\text{K}^+$ -ATPase هستند و این آنزیم را می‌توان با استفاده از آنتیکور IgGα<sub>5</sub> مورد مکان‌یابی قرار داد. این امر همچنین نشاندهنده نقش مهم این سلولها در تبادلات یونی بین بافت آبششی و محیط پیرامونی می‌باشد.

### منابع

- خدابنده، ص.، تقیزاده، ز.، ۱۳۸۵. مکان‌یابی آنزیم  $\text{Na}^+$ ,  $\text{K}^+$ -ATPase و سلولهای یونوسیت در آبشن گریه ماهی (Silurus glanis) به روش ایمونوهیستوشیمی. فصلنامه پژوهشی یاخته، سال هشتم، شماره ۱، صفحات ۴۵ تا ۵۲.
- Altinok, I. ; Galli S.M. and Chapman, F.A. , 1998.** Ionic and osmotic regulation capabilities of juvenile Gulf of Mexico sturgeon, *Acipenser oxyrinchus de sotoi*. Comparative Biochemistry and Physiology. Part A, Vol. 120, pp.609- 616.
- Carmona, R. ; Garcia-Gallego, M. ; Sanz, A. ; Domezain, A. and Ostos-Garrido, M.V. , 2004.** Chloride cells and pavement cells in gill epithelia of *Acipenser naccarii*: Ultrastructural modifications in seawater-acclimated specimens. Journal of Fish Biology, Vol. 64, pp.553-566.
- Dettlaff, T.A. ; Ginsburg, A.S. and Schmalhausen, O.I. , 1992.** Sturgeon fishes: Developmental biology and aquaculture. Springer-Verlag. Germany, 300P.
- Evans, D.H. , 1993.** The physiology of fishes. CRC Press, Boca Raton, FL, USA. pp.157-176.

آنژیم در بخش قاعده‌ای - جانبی سلولهای کلراید اشاره دارد (Pelis & McCormick, 2001; Seidelin et al., 1999). Evans et al., 2005; Hirose et al., 2003 نتایج شمارش سلولهای کلراید در آبشن بچه ماهیان تاسماهی ایرانی سازگار با آب شیرین نشان داد که در هر میلیمترمربع از سطح این بافت حدوداً ۲۸۹ سلول کلراید وجود دارد که بیشترین تعداد آنها بر روی فیلامنت و پس از آن برتریب بر روی لاملاها، در پایه لاملاها و در فضای بین لاملای وجود دارند. براساس مطالعات انجام شده در هر میلیمترمربع از بافت آبشن مارماهی ژاپنی ۵۰۰ گرمی (*Anguilla japonica*), در آبشن باس ۱۰۰۶ سلول کلراید (Wong & Chan, 2001) در آبشن باس ۶۲۵۰ (*Dicentrarchus labrax*), در آبشن موزامبیک ۶۵ کلراید (Varsamos, 2002)، در آبشن تیلاپیای موزامبیک ۶۲۳۳ سلول کلراید (*Oreochromis mossambicus*), (Van der Heijden et al., 1997) ۳۱ گرمی (*Chanos chanos*) (Lin et al., 2003) و در آبشن سالمون آتلانتیک ۲۵ گرمی (*Salmo salar*) (Pelis & McCormick, 2001). بنابراین به نظر می‌رسد که تعداد سلولهای کلراید در بافت آبشن در گونه‌ها و با اندازه‌های مختلف ماهیان با توجه به میزان فعالیت‌های فیزیولوژیک در سنین و اوزان مختلف متفاوت می‌باشد.

اندازه‌گیری ابعاد سلولهای کلراید در بچه ماهیان تاسماهی ایرانی (۲ تا ۳ گرمی) نشان داد که میانگین طول در این سلولها برابر با  $16.09 \pm 0.05$  میکرومتر و میانگین عرض این سلولها برابر با  $7.922 \pm 0.4$  میکرومتر می‌باشد. Carmona و همکارانش در سال ۲۰۰۴ ابعاد سلولهای کلراید را در آبشن استورزن آدریاتیک *Acipenser naccarii* بصورت طولی برابر ۱۸ میکرومتر و عرضی معادل ۱۲ میکرومتر محاسبه کردند. از بررسی مطالعات سایر محققین و مقایسه نتایج تحقیق حاضر با آنها چنین بر می‌آید که همانند تعداد سلولهای کلراید، اندازه آنها نیز یک فاکتور وابسته به گونه بوده و در گونه‌های مختلف متفاوت است. اندازه نسبتاً بزرگ سلولهای کلراید در بچه تاسماهی ایرانی آب شیرین به همراه حضور قابل ملاحظه آنزیم  $\text{Na}^+$ ,  $\text{K}^+$ -ATPase در آنها توانایی بالای این ماهیان در جذب فعال یونهای آب اطراف آبشن‌ها را نشان می‌دهد.

- Evans, D.H. ; Piermarini, P.M. and Choe, K.P. , 2005.** The multifunctional fish gill: Dominant site of gas exchange, osmoregulation, acid-base regulation and excretion of nitrogenous waste. *Physiology Review*, Vol. 85, pp.97- 177.
- Harder, W.E. , 1975.** Anatomy of fishes. Schweizer bartsche verlagsbuchhandlung. pp.253-260.
- Hirose, S. ; Kaneko, T. ; Natio, N. and Takei, Y. , 2003.** Molecular biology of major components of chloride cells. *Comparative Biochemistry and Physiology*. Part B, Vol. 136, pp.593-620.
- Khodabandeh, S. ; Charmantier, G. and Charmantier-Daures, M. , 2006.** Immunocalization of  $\text{Na}^+, \text{K}^+$ -ATPase in osmoregulatory organs during the embryonic and post-embryonic development of the lobster, *Homarus gammarus*. *Journal of Crustacean Biology*, Vol. 26, No. 4, pp.515-523.
- Khodabandeh, S. , 2006.**  $\text{Na}^+, \text{K}^+$ -ATPase in the gut of the zygoptera *Ischnura elegans*, and anisoptera, *Libellula lydia* larvae (odonta): Activity and immunocytochemical localization. *Zoology Studies*, Vol. 45, pp.53-63.
- Lignot, J.H. ; Nugroho Susanto, G. ; Charmantier-Daures, M. and Charmantier, G. , 2001.** Immunocalization of  $\text{Na}^+, \text{K}^+$ -ATPase in the branchial cavity during the early development of the crayfish, *Astacus leptodactylus* (Crustacea, Decapoda). *Cell and Tissue Researches*, Vol. 319, pp.331-339.
- Lin, Y.M. ; Chen, C.N. and Lee, T.H. , 2003.** The expression of gill  $\text{Na}^+, \text{K}^+$ -ATPase in milkfish, *Chanos chanos*, acclimated to seawater, brakishwater and freshwater. *Comparative Biochemistry and Physiologie*, Part A, Vol.135, pp.489- 497.
- Mortoja, R. and Mortoja-Pierson, M. , 1967.** Initiation aux techniques de l histology animal. Masson et Cie, Paris, France. 345P.
- Pelis, M.R. and McCormick, S.D. , 2001.** Effects of growth hormone and cortisol on  $\text{Na}-\text{K}-2\text{Cl}$  co transporter localization and abundance in the gills of Atlantic salmon. *General Comparative Endocrinology*, Vol.124, pp.134-143.
- Pelis, R.M. ; Zytlewski, J. and McCormick, S.D. , 2001.** Gill  $\text{Na}^+-\text{K}^+-2\text{Cl}^-$  cotransporter abundance and location in Atlantic salmon: Effects of seawater and smolting. *American Journal of Physiology*, Vol. 280, pp.R1844-R1852.
- Seidelin, M. ; Madsen, S.S. ; Bryalsen, A. and Kristiansen, K. , 1999.** Effects of insulin-like growth factor-I and cortisol on  $\text{Na}^+, \text{K}^+$ -ATPase expression in osmoregulatory tissues of Brown trout, *Salmo trutta*. *General Comparative Endocrinology*, Vol. 113, pp.331-342.
- Van der Heijden, A.J.H. ; Verbost, P.M. ; Eygensteyn, J. ; Li, J. ; Wendelaar Bonga, S.E. and Flik, G. , 1997.** Mitochondria-rich cells in gills of tilapia (*Oreochromis mossambicus*) adapted to freshwater or seawater: Quantification by confocal laser scanning microscopy. *Journal of Experimental Biology*, Vol. 200, pp.55-64.
- Varsamos, S. , 2002.** Tolerance range and osmoregulation in hypersaline conditions in the European Sea Bass (*Dicentrarchus labrax*). *Journal of Marine Biology*, UK. Vol. 82, pp.1047-1048.
- Wong, C.K. and Chan, D.K. , 2001.** Effects of cortisol on chloride cells in the gill epithelium of Japanese eel, *Anguilla japonica*. *Endocrinology*, Vol.168, pp.185-192.

**Wood, C.M. and Marshall, W.S. , 1994.** Ion balance, acid-base regulation, and chloride cell function in the common killifish, *Fundulus*

*heteroclitus*, a euryhaline estuarine teleosts.  
Estuaries, Vol. 17, pp.34-52.

## **Immunolocalization of $\text{Na}^+$ , $\text{K}^+$ -ATPase enzyme and gill chloride cells in fries of Persian sturgeon, *Acipenser persicus***

**Khoshnood Z. ; Khodabandeh S.\* and Mosafer Khoorjestan S.**

Surp78@yahoo.com

Department of Natural Resources and Marine Science, International Campus, Tarbiat Modares

University, P.O.Box: 14115-356 Noor, Iran

Received: February 2008

Accepted: September 2008

**Keywords:** *Acipenser persicus*,  $\text{Na}^+$ ,  $\text{K}^+$ -ATPase, IgGα5, Chloride cells

### ***Abstract***

Persian sturgeon, *Acipenser persicus* is a valuable species in the Caspian Sea ecosystem. For gill chloride cells localization, fish specimens 2-3g were adapted to experimental conditions for 7 days. Gill histology was observed through light microscopy using Hematoxylin-Fushin staining. Immunolocalization of gill  $\text{Na}^+$ ,  $\text{K}^+$ -ATPase was observed through fluorescent microscopy using mouse monoclonal antibody (IgGα5) rinsed against  $\text{Na}^+$ ,  $\text{K}^+$ -ATPase α-subunit. Chloride cells dimensions was observed using Image Tools software. Gill chloride cells that have high density of  $\text{Na}^+$ ,  $\text{K}^+$ -ATPase, were found on gill arch, gill septum, filament and lamellae. No chloride cells were observed on spiracular or opercular gills epithelium. Chloride cells were spherical to egg-shaped and showed immune-fluorescent activity on their baso-lateral sides. Results showed that in each square millimeter of gill epithelia, 289 chloride cells existed and the maximum number of these cells was found on filament, lamellae, base of the lamellae and on the inter-lamellar space. We also found that the number of these cells is significantly different in all branchial states. Persian sturgeon fry weighing 2-3g have gill chloride cells where  $\text{Na}^+$ ,  $\text{K}^+$ -ATPase gene and their activity occurred. Because of their cellular transporters (like  $\text{Na}^+$ ,  $\text{K}^+$ -ATPase), these cells were the main sites of the ionic and osmotic regulation between the fish and the environment.

---

\* Corresponding author